

《水土保持研究》233 篇论文入选中国知网高影响力论文

近日，中国知网《学术精要数据库》(<http://xsjy.cnki.net>) 基于中国知网资源总库遴选各学科代表性论文，发布了 2011 年以来各学科高影响力论文，包括高被引论文、高下载论文、高 PCSI（论文引证标准化指数）论文。

高被引论文是指同年度同学科同种文献类型（研究型、综述型文献）的国内期刊、会议论文中，总被引频次排名前 1% 的论文，即高被引论文 Top1%。高下载论文是指同年度同学科同种文献类型（研究型、综述型文献）的国内期刊、会议论文中，总下载频次排名前 1% 的论文，即高下载论文 Top1%。高 PCSI 论文是指同年度同学科同种文献类型（研究型、综述型文献）的国内期刊、会议论文中，PCSI 指数排名前 1% 的论文，即高 PCSI 论文 Top1%。

《水土保持研究》共有 233 篇论文入选《学术精要数据库》高影响力论文。编辑部向入选的作者表示热烈祝贺。作者可自行下载收录证书，并查看和导出单篇评价报告 (www.xsjy.cnki.net)，也可以发送至水土保持研究编辑部邮箱 research@ms.iswc.ac.cn 获取相应证书。



《水土保持研究》高影响力论文列表

🏆 高下载论文 🏆 高被引论文 🏆 高 PCSI 论文

| | |
|----|---|
| 1 | <p>中国耕地土壤重金属污染概况 🏆 🏆 🏆</p> <p>宋伟;陈百明;刘琳; 水土保持研究 2013 年 02 期 被引: 1035 下载: 20944 PCSI: 118.997 PDSI: 79.048</p> |
| 2 | <p>国内外矿区土地复垦研究进展 🏆 🏆</p> <p>王莉;张和生; 水土保持研究 2013 年 01 期 被引: 170 下载: 3871 PCSI: 7.756 PDSI: 15.469</p> |
| 3 | <p>基于主成分分析的哈尔滨市土地生态安全评价 🏆 🏆 🏆</p> <p>孙奇奇;宋戈;齐美玲; 水土保持研究 2012 年 01 期 被引: 140 下载: 1839 PCSI: 19.837 PDSI: 9.878</p> |
| 4 | <p>基于生态足迹的土地生态安全评价研究 🏆 🏆 🏆</p> <p>黄海;刘长城;陈春; 水土保持研究 2013 年 01 期 被引: 133 下载: 2408 PCSI: 17.623 PDSI: 12.300</p> |
| 5 | <p>基于农用地分等和 LESA 方法的基本农田划定 🏆 🏆</p> <p>钱凤魁;王秋兵; 水土保持研究 2011 年 02 期 被引: 131 下载: 1121 PCSI: 9.777 PDSI: 5.380</p> |
| 6 | <p>土地利用功能分类及空间结构评价方法——以燕沟流域为例 🏆 🏆</p> <p>党丽娟;徐勇;高雅; 水土保持研究 2014 年 05 期 被引: 130 下载: 1507 PCSI: 17.568 PDSI: 9.966</p> |
| 7 | <p>1986—2013 年南京市土地利用/覆被景观格局时空变化及驱动力因素分析 🏆 🏆 🏆</p> <p>佟光臣;林杰;陈杭;顾哲衍;唐鹏;张金池; 水土保持研究 2017 年 02 期 被引: 128 下载: 2852 PCSI: 25.736 PDSI: 15.074</p> |
| 8 | <p>污染土壤修复技术研究进展 🏆 🏆 🏆</p> <p>周际海;黄荣霞;樊后保;田胜尼;李宗勋;姜伟;李特;高琪; 水土保持研究 2016 年 03 期 被引: 110 下载: 7668 PCSI: 10.863 PDSI: 18.336</p> |
| 9 | <p>基于 P-S-R 模型的汕头市土地生态安全评价 🏆 🏆</p> <p>杨春红;张正栋;田楠楠;吴申凤;张五美; 水土保持研究 2012 年 03 期 被引: 109 下载: 1431 PCSI: 14.514 PDSI: 7.213</p> |
| 10 | <p>湟水流域 SWAT 模型构建及参数不确定性分析 🏆 🏆</p> <p>杨军军;高小红;李其江;陈强;冯仕超; 水土保持研究 2013 年 01 期 被引: 101 下载: 2818 PCSI: 9.498 PDSI: 18.349</p> |


















| | |
|----|---|
| 11 | <p>长期持续秸秆还田对土壤理化特性、酶活性和产量性状的影响   </p> <p>张聪;慕平;尚建明; 水土保持研究 2018 年 01 期 被引: 101 下载: 1364 PCSI: 12.723 PDSI: 6.876</p> |
| 12 | <p>基于“三生空间”协调的农村居民点布局优化研究   </p> <p>刘鹏;陈荣蓉;杨朝现;信桂新;王金捷; 水土保持研究 2017 年 02 期 被引: 100 下载: 2354 PCSI: 13.650 PDSI: 10.268</p> |
| 13 | <p>基于 AHP 的土地集约利用水平模糊综合评价  </p> <p>崔娟敏;季文光; 水土保持研究 2011 年 04 期 被引: 96 下载: 1577 PCSI: 10.992 PDSI: 7.669</p> |
| 14 | <p>城市土地利用绩效评价及障碍度诊断——以哈尔滨市为例  </p> <p>周晓飞;雷国平;徐珊; 水土保持研究 2012 年 02 期 被引: 95 下载: 1431 PCSI: 15.221 PDSI: 8.938</p> |
| 15 | <p>经济发达地区土地利用变化及其驱动力分析——以广东省为例  </p> <p>吴明发;欧名豪;廖荣浩; 水土保持研究 2012 年 01 期 被引: 94 下载: 1646 PCSI: 12.807 PDSI: 9.951</p> |
| 16 | <p>农村居民点空间布局及优化分析   </p> <p>姜磊;雷国平;张健;张怡然;李佳; 水土保持研究 2013 年 01 期 被引: 88 下载: 1774 PCSI: 12.566 PDSI: 11.150</p> |
| 17 | <p>耕地生态安全评价研究——以黑龙江省宁安市为例  </p> <p>徐辉;雷国平;崔登攀;赵宏波; 水土保持研究 2011 年 06 期 被引: 85 下载: 911 PCSI: 13.778 PDSI: 5.369</p> |
| 18 | <p>基于 P-S-R 模型的河南省土地生态安全评价及预测  </p> <p>李玲;侯淑涛;赵悦;郑绪玲; 水土保持研究 2014 年 01 期 被引: 84 下载: 1268 PCSI: 11.489 PDSI: 7.295</p> |
| 19 | <p>秦巴山区农村居民点空间分布及其影响因素分析——以陕西省宁强县为例  </p> <p>李姗姗;曹广超;赵鹏飞; 水土保持研究 2014 年 03 期 被引: 78 下载: 918 PCSI: 11.641 PDSI: 6.848</p> |
| 20 | <p>基于 SWAT 模型的长江源土地利用/土地覆被情景变化对径流影响研究  </p> <p>李佳;张小咏;杨艳昭; 水土保持研究 2012 年 03 期 被引: 77 下载: 1411 PCSI: 8.018 PDSI: 10.391</p> |
| 21 | <p>秦巴山区农村居民点空间分布及其影响因素分析——以陕西省宁强县为例  </p> <p>李姗姗;曹广超;赵鹏飞; 水土保持研究 2014 年 03 期 被引: 78 下载: 918 PCSI: 11.641 PDSI: 6.848</p> |

| | |
|----|---|
| 22 | <p>基于 SWAT 模型的长江源土地利用/土地覆被情景变化对径流影响研究  </p> <p>李佳;张小咏;杨艳昭; 水土保持研究 2012 年 03 期 被引: 77 下载: 1411 PCSI: 8.018 PDSI: 10.391</p> |
| 23 | <p>京津冀地区城市土地集约利用与城镇化耦合协调关系研究  </p> <p>王雨竹;徐培玮; 水土保持研究 2016 年 01 期 被引: 74 下载: 1323 PCSI: 11.092 PDSI: 7.120</p> |
| 24 | <p>干旱区绿洲土地利用变化的生态系统服务价值响应——以甘肃省金塔县为例  </p> <p>谢余初;巩杰;赵彩霞;颜耀文; 水土保持研究 2012 年 02 期 被引: 73 下载: 966 PCSI: 13.994 PDSI: 5.892</p> |
| 25 | <p>基于耕地质量评价的基本农田划定方法 </p> <p>汤思阳;雷国平;张慧;徐博;丁润超; 水土保持研究 2013 年 01 期 被引: 73 下载: 1333 PCSI: 9.415 PDSI: 7.402</p> |
| 26 | <p>黄土丘陵区植物功能性状沿气候梯度的变化规律  </p> <p>施宇;温仲明;龚时慧;宋光;郑颖;丁曼; 水土保持研究 2012 年 01 期 被引: 73 下载: 1038 PCSI: 11.958 PDSI: 5.732</p> |
| 27 | <p>覆盖方式对玉米农田土壤水分、作物产量及水分利用效率的影响  </p> <p>宋淑亚;刘文兆;王俊;官情;张燕青; 水土保持研究 2012 年 02 期 被引: 72 下载: 693 PCSI: 9.233 PDSI: 5.305</p> |
| 28 | <p>基于 InVEST 模型的生态系统土壤保持功能研究——以福建宁德为例 </p> <p>王敏;阮俊杰;姚佳;沙晨燕;王卿; 水土保持研究 2014 年 04 期 被引: 70 下载: 1750 PCSI: 5.996 PDSI: 9.818</p> |
| 29 | <p>祁连山东段不同植被下土壤养分状况研究 </p> <p>姜红梅;李明治;王亲;刘星星; 水土保持研究 2011 年 05 期 被引: 67 下载: 595 PCSI: 8.073 PDSI: 4.707</p> |
| 30 | <p>大庆市土地利用与生态环境协调度评价 </p> <p>陈珏;雷国平; 水土保持研究 2011 年 03 期 被引: 67 下载: 1038 PCSI: 8.827 PDSI: 5.911</p> |
| 31 | <p>基于 CA-MARKOV 模型的江苏沿海土地利用变化情景分析  </p> <p>许小娟;刘会玉;林振山;刘金雪;李丽鹤; 水土保持研究 2017 年 01 期 被引: 66 下载: 1079 PCSI: 9.793 PDSI: 6.050</p> |
| 32 | <p>基于改进 TOPSIS 模型的大庆市城市土地利用绩效评价及障碍度诊断 </p> <p>吴一凡;雷国平;路昌;周浩;关勇欣; 水土保持研究 2015 年 04 期 被引: 65 下载: 1250 PCSI: 7.920 PDSI: 5.368</p> |

| | |
|----|---|
| 33 | <p>基于 DEA 的江西省耕地利用效率及影响因素分析 </p> <p>经阳;叶长盛; 水土保持研究 2015 年 01 期 被引: 64 下载: 841 PCSI: 8.240 PDSI: 5.665</p> |
| 34 | <p>基于 MIDAS 深基坑桩锚支护数值模拟分析 </p> <p>李明瑛;曾朋; 水土保持研究 2012 年 01 期 被引: 64 下载: 1133 PCSI: 3.784 PDSI: 10.044</p> |
| 35 | <p>基于“三生”功能的长江中游城市群国土空间利用协调特征  </p> <p>徐磊;董捷;陈恩; 水土保持研究 2018 年 02 期 被引: 62 下载: 1362 PCSI: 9.709 PDSI: 6.048</p> |
| 36 | <p>阴阳坡植物功能性状与环境因子的变化特征  </p> <p>刘旻霞;马建祖; 水土保持研究 2013 年 01 期 被引: 61 下载: 1237 PCSI: 10.257 PDSI: 6.155</p> |
| 37 | <p>基于生态足迹的资源型城市可持续发展能力分析——以山西省晋城市为例 </p> <p>李炳意;师学义; 水土保持研究 2016 年 02 期 被引: 59 下载: 1247 PCSI: 9.600 PDSI: 7.186</p> |
| 38 | <p>基于熵权的模糊综合评价模型的广西水资源承载力空间分异研究   </p> <p>戴明宏;王腊春;魏兴萍; 水土保持研究 2016 年 01 期 被引: 56 下载: 1193 PCSI: 15.945 PDSI: 13.847</p> |
| 39 | <p>基于地统计学和 GIS 的江西省森林土壤养分空间分布特征   </p> <p>张志坚;刘苑秋;吴春生;李晓东;刘亮英;李应文; 水土保持研究 2018 年 01 期 被引: 56 下载: 856 PCSI: 8.622 PDSI: 6.097</p> |
| 40 | <p>基于 Logistic-CA-Markov 与 InVEST 模型对南京市土地利用与生物多样性功能模拟评价  </p> <p>荣月静;张慧;王岩松; 水土保持研究 2016 年 03 期 被引: 56 下载: 1981 PCSI: 7.464 PDSI: 10.766</p> |
| 41 | <p>基于生态敏感性评价的乌海市土地资源承载力分析 </p> <p>史娜娜;全占军;韩煜;王琦;肖能文;高晓奇; 水土保持研究 2017 年 01 期 被引: 55 下载: 1240 PCSI: 8.192 PDSI: 7.262</p> |
| 42 | <p>基于 DPSIR-EES-TOPSIS 模型的重庆市土地生态安全评价及其时空分异  </p> <p>吕广斌;廖铁军;姚秋昇;邓薇; 水土保持研究 2019 年 06 期 被引: 54 下载: 1411 PCSI: 8.205 PDSI: 7.484</p> |
| 43 | <p>基于 InVEST 模型的甘肃白龙江流域生境质量时空分异  </p> <p>巩杰;马学成;张玲玲;柳冬青;张金茜; 水土保持研究 2018 年 03 期 被引: 53 下载: 1247 PCSI: 12.434 PDSI: 5.769</p> |










| | |
|----|---|
| 44 | 陕北黄土高原刺槐植物功能性状与气象因子的关系  宋光;温仲明;郑颖;丁曼; 水土保持研究 2013 年 03 期 被引: 51 下载: 616 PCSI: 6.744 PDSI: 7.292 |
| 45 | 1982—2006 年黄土高原地区植被覆盖度对气候变化的响应   郭敏杰;张亭亭;张建军;陈利利;张晓萍; 水土保持研究 2014 年 05 期 被引: 51 下载: 788 PCSI: 9.599 PDSI: 6.235 |
| 46 | 喀斯特石漠化演替中植物多样性及其与土壤理化性质的关系   李瑞;王霖娇;盛茂银;郭杰; 水土保持研究 2016 年 05 期 被引: 50 下载: 1024 PCSI: 14.397 PDSI: 5.044 |
| 47 | 基于 GIS 的山地城市生态敏感性分析研究  张伟;王家卓;任希岩;高均海;何舸; 水土保持研究 2013 年 03 期 被引: 49 下载: 1448 PCSI: 9.208 PDSI: 9.939 |
| 48 | 基于机会成本和生态系统服务价值的闽江流域生态补偿标准研究  林秀珠;李小斌;李家兵;饶清华; 水土保持研究 2017 年 02 期 被引: 48 下载: 1230 PCSI: 9.754 PDSI: 6.638 |
| 49 | 陕西省土地利用碳排放影响因素及脱钩效应分析  李玉玲;李世平;祁静静; 水土保持研究 2018 年 01 期 被引: 48 下载: 1029 PCSI: 7.793 PDSI: 5.004 |
| 50 | 基于 GIS 和 RS 的延河流域植被覆盖度与地形因子的相关性研究   汤巧英;戚德辉;宋立旺;温仲明; 水土保持研究 2017 年 04 期 被引: 47 下载: 843 PCSI: 12.378 PDSI: 4.293 |
| 51 | 不同坡位植被生长状况与土壤养分空间分布特征  雷斯越;赵文慧;杨亚辉;吕渡;白云斌;何亮;郭晋伟;张晓萍; 水土保持研究 2019 年 01 期 被引: 46 下载: 881 PCSI: 9.122 PDSI: 4.823 |
| 52 | 2000—2016 年黄河源区植被 NDVI 变化趋势及影响因素   刘启兴;董国涛;景海涛;周俊利;党素珍;贾培培; 水土保持研究 2019 年 03 期 被引: 45 下载: 1169 PCSI: 25.511 PDSI: 4.986 |
| 53 | 基于 InVEST 模型的门头沟区生态系统土壤保持功能研究  刘晓娜;裴厦;陈龙;刘春兰; 水土保持研究 2018 年 06 期 被引: 45 下载: 1294 PCSI: 5.193 PDSI: 6.578 |
| 54 | 基于小波分析的开都河径流变化周期研究   夏库热·塔依尔;海米提·依米提;麦麦提吐尔逊·艾则孜;米热古丽·艾尼瓦尔;李建涛; 水土保持研究 2014 年 01 期 被引: 43 下载: 614 PCSI: 10.446 PDSI: 8.364 |

| | |
|----|---|
| 55 | <p>不同灌溉模式下寒地稻田 CH₄ 和 N₂O 排放及温室效应研究 </p> <p>王孟雪;张忠学;吕纯波;林彦宇; 水土保持研究 2016 年 02 期 被引: 43 下载: 565 PCSI: 8.135 PDSI: 4.975</p> |
| 56 | <p>降水变化和氮素添加对青藏高原高寒草原群落结构和物种多样性的影响   </p> <p>李长斌;彭云峰;赵殿智;宁祎;周国英; 水土保持研究 2016 年 06 期 被引: 42 下载: 694 PCSI: 17.838 PDSI: 9.644</p> |
| 57 | <p>基于 RS 和 GIS 的深圳市土地利用/覆被变化及碳效应分析  </p> <p>裴杰;王力;柴子为;扶卿华;牛铮; 水土保持研究 2017 年 03 期 被引: 42 下载: 1340 PCSI: 5.246 PDSI: 7.537</p> |
| 58 | <p>不同海拔高度下梵净山土壤碳、氮、磷分布特征  </p> <p>李相楹;张维勇;刘峰;张珍明;何腾兵;林昌虎; 水土保持研究 2016 年 03 期 被引: 42 下载: 715 PCSI: 9.116 PDSI: 6.409</p> |
| 59 | <p>赣南飞播马尾松林林下植被盖度对土壤质量的影响 </p> <p>丁松;应学亮;吕丹;欧阳勋志; 水土保持研究 2014 年 03 期 被引: 42 下载: 348 PCSI: 8.448 PDSI: 4.580</p> |
| 60 | <p>重庆三峡库区乡村聚落空间分布探析 </p> <p>李孝坤;李忠峰;冯敏; 水土保持研究 2013 年 04 期 被引: 42 下载: 691 PCSI: 4.939 PDSI: 6.704</p> |
| 61 | <p>气候变化对我国主要粮食作物产量的影响及适应措施   </p> <p>赵彦茜;肖登攀;唐建昭;柏会子; 水土保持研究 2019 年 06 期 被引: 42 下载: 1712 PCSI: 11.888 PDSI: 11.423</p> |
| 62 | <p>竹溪县农村居民点景观格局及空间分布特征  </p> <p>李胜坤;张毅;闫欣;曹娟; 水土保持研究 2014 年 04 期 被引: 41 下载: 603 PCSI: 9.679 PDSI: 6.869</p> |
| 63 | <p>基于 InVEST 模型的江苏海岸带生态系统碳储量时空变化研究 </p> <p>张云倩;张晓祥;陈振杰;王伟玮;陈东; 水土保持研究 2016 年 03 期 被引: 41 下载: 1506 PCSI: 6.662 PDSI: 8.585</p> |
| 64 | <p>冀北地区典型林分枯落物层与土壤层的水文效应  </p> <p>宣立辉;康凡;谷建才;黄冬梅; 水土保持研究 2018 年 04 期 被引: 41 下载: 281 PCSI: 10.875 PDSI: 2.542</p> |
| 65 | <p>黄土山丘区土地利用变化对生态系统服务价值的影响——以长河流域为例 </p> <p>熊侣英;师学义; 水土保持研究 2018 年 02 期 被引: 40 下载: 839 PCSI: 8.707 PDSI: 4.325</p> |

| | |
|----|--|
| 66 | <p>冀西北地区 4 种纯林枯落物及土壤水文效应  </p> <p>胡静霞;杨新兵;朱辰光;温亚飞;钟良子;马俊杰; 水土保持研究 2017 年 04 期 被引: 40 下载: 395 PCSI: 8.499 PDSI: 3.578</p> |
| 67 | <p>生物有机肥对蓝莓根区土壤养分及微生物学特性的影响  </p> <p>李志友; 水土保持研究 2017 年 02 期 被引: 39 下载: 626 PCSI: 9.576 PDSI: 6.887</p> |
| 68 | <p>基于景观格局的阿哈湖国家湿地公园景观生态风险评价  </p> <p>娄妮;王志杰;何嵩涛; 水土保持研究 2020 年 01 期 被引: 39 下载: 1251 PCSI: 13.031 PDSI: 6.577</p> |
| 69 | <p>青海省近 10 年草地植被覆盖动态变化及其驱动因素分析   </p> <p>马昊翔;陈长成;宋英强;晔沙;胡月明; 水土保持研究 2018 年 06 期 被引: 38 下载: 916 PCSI: 15.114 PDSI: 10.321</p> |
| 70 | <p>不同灌溉方式对设施番茄土壤剖面硝态氮分布及灌溉水分效率的影响 </p> <p>聂斌;李文刚;江丽华;郑福丽;林海涛;宋效宗;赵长星; 水土保持研究 2012 年 03 期 被引: 38 下载: 539 PCSI: 8.657 PDSI: 6.029</p> |
| 71 | <p>围栏封育对青海湖流域主要植物群落多样性与稳定性的影响  </p> <p>李璠;周国英;杨路存;徐文华;钟泽兵;宋文珠; 水土保持研究 2013 年 04 期 被引: 38 下载: 605 PCSI: 12.382 PDSI: 9.566</p> |
| 72 | <p>重点生态功能区生态系统服务价值时空变化特征及启示——以湖北省宜昌市为例 </p> <p>熊善高;万军;龙花楼;于雷; 水土保持研究 2016 年 01 期 被引: 38 下载: 1108 PCSI: 10.402 PDSI: 6.560</p> |
| 73 | <p>西南地区生长季植被覆盖时空变化特征及其对气候与地形因子的响应  </p> <p>熊巧利;何云玲;李同艳;余岚; 水土保持研究 2019 年 06 期 被引: 38 下载: 1005 PCSI: 25.511 PDSI: 4.488</p> |
| 74 | <p>不同耕作方式下玉米农田土壤养分及土壤微生物活性变化 </p> <p>贾凤梅;张淑花;魏雅冬; 水土保持研究 2018 年 05 期 被引: 37 下载: 695 PCSI: 4.905 PDSI: 4.760</p> |
| 75 | <p>2000—2015 年黄河流域植被净初级生产力时空变化特征及其驱动因子  </p> <p>田智慧;张丹丹;赫晓慧;郭恒亮;魏海涛; 水土保持研究 2019 年 02 期 被引: 37 下载: 1222 PCSI: 24.297 PDSI: 5.142</p> |
| 76 | <p>农村土地整治与生态文明建设耦合关系研究 </p> <p>孙心如;周学武;王占岐; 水土保持研究 2017 年 02 期 被引: 37 下载: 1281 PCSI: 3.032 PDSI: 7.148</p> |

| | |
|----|---|
| 77 | 安徽省气象数据空间插值方法比较与分布特征  赵冰雪;王雷;程东亚; 水土保持研究 2017 年 03 期 被引: 36 下载: 784 PCSI: 6.632 PDSI: 8.105 |
| 78 | 近 50 年来全球变暖背景下青藏高原气温变化特征   吴成启;唐登勇; 水土保持研究 2017 年 06 期 被引: 36 下载: 977 PCSI: 6.263 PDSI: 9.846 |
| 79 | 近 30 年来梵净山植被覆盖时空变化及影响因素分析   张珍珍;熊康宁;黄登红; 水土保持研究 2018 年 02 期 被引: 36 下载: 779 PCSI: 16.709 PDSI: 4.133 |
| 80 | 不同演替阶段群落根系分布与土壤团聚体特征的协同变化   由政;姚旭;景航;谷利茶;王国梁; 水土保持研究 2016 年 06 期 被引: 36 下载: 572 PCSI: 11.388 PDSI: 3.451 |
| 81 | 1990—2015 年长三角城市群土地利用转型与生态系统服务功能变化  史慧慧;程久苗;费罗成;程建; 水土保持研究 2019 年 01 期 被引: 35 下载: 2148 PCSI: 8.472 PDSI: 8.502 |
| 82 | 粤港澳大湾区土地利用及生态系统服务价值的变化——以广佛肇为例   肖红克;李洪忠;王莉;陈劲松;韩宇; 水土保持研究 2020 年 01 期 被引: 34 下载: 1406 PCSI: 14.641 PDSI: 6.717 |
| 83 | 秸秆和生物炭添加对关中地区玉米-小麦轮作农田温室气体排放的影响  陈静;张建国;赵英;张阿凤;成功;冯浩; 水土保持研究 2018 年 05 期 被引: 33 下载: 872 PCSI: 7.229 PDSI: 6.855 |
| 84 | 不同封育年限宁夏荒漠草原土壤种子库研究  刘华;蒋齐;王占军;潘占兵; 水土保持研究 2011 年 05 期 被引: 33 下载: 267 PCSI: 9.663 PDSI: 3.953 |
| 85 | 青藏高原 NDVI 变化趋势及其对气候的响应   孟梦;牛铮;马超;田海峰;裴杰; 水土保持研究 2018 年 03 期 被引: 33 下载: 995 PCSI: 11.765 PDSI: 4.943 |
| 86 | 长江经济带水资源承载力评价及时空动态变化    何刚;夏业领;秦勇;朱艳娜;王雯雯; 水土保持研究 2019 年 01 期 被引: 32 下载: 1336 PCSI: 12.351 PDSI: 12.195 |
| 87 | 重庆县域乡村人居环境综合评价及其空间分异   唐宁;王成; 水土保持研究 2018 年 02 期 被引: 32 下载: 1272 PCSI: 6.048 PDSI: 8.617 |

| | |
|----|---|
| 88 | <p>基于生态系统服务功能及生态敏感性与 PSR 模型的生态承载力空间分析 </p> <p>荣月静;郭新亚;杜世勋;李霞;宁婷;张梦莹; 水土保持研究 2019 年 01 期 被引: 32 下载: 1922 PCSI: 6.551 PDSI: 8.401</p> |
| 89 | <p>太湖流域苏州片区农业面源污染负荷研究 </p> <p>李翠梅;张绍广;姚文平;陈云; 水土保持研究 2016 年 03 期 被引: 32 下载: 953 PCSI: 4.639 PDSI: 7.631</p> |
| 90 | <p>基于遥感生态指数模型的阜康市生态环境动态变化监测与评价  </p> <p>茹克亚·萨吾提;阿不都艾尼·阿不里;李虎;尼加提·卡斯木;李晓航; 水土保持研究 2020 年 01 期 被引: 31 下载: 1479 PCSI: 13.031 PDSI: 7.695</p> |
| 91 | <p>基于 MODISNDVI 数据的陕甘宁地区植被覆盖时空变化及其对极端气候的响应 </p> <p>赵安周;张安兵;赵延旭;范倩倩;赵玉玲; 水土保持研究 2018 年 03 期 被引: 31 下载: 720 PCSI: 6.454 PDSI: 3.901</p> |
| 92 | <p>基于模糊综合评判的杭锦旗水资源承载力评价  </p> <p>王睿;周立华;陈勇;赵敏敏;郭秀丽; 水土保持研究 2017 年 02 期 被引: 31 下载: 644 PCSI: 8.207 PDSI: 7.492</p> |
| 93 | <p>基于改进的 InVEST 模型的韶关市生态系统服务功能时空变化特征及影响因素   </p> <p>王秀明;刘谓承;龙颖贤;张音波;梁炜;洪曼;余晓东; 水土保持研究 2020 年 05 期 被引: 30 下载: 2224 PCSI: 15.290 PDSI: 11.283</p> |
| 94 | <p>汉中市土地利用时空变化及其对生态系统服务价值的影响  </p> <p>封建民;郭玲霞;李晓华; 水土保持研究 2020 年 01 期 被引: 30 下载: 1313 PCSI: 10.974 PDSI: 6.324</p> |
| 95 | <p>内蒙古地区 1960—2016 年气温和降水特征及突变  </p> <p>马梓策;于红博;张巧凤;曹聪明; 水土保持研究 2019 年 03 期 被引: 30 下载: 713 PCSI: 9.064 PDSI: 6.245</p> |
| 96 | <p>基于 SWAT 模型的张家口清水河流域土地利用情景变化对径流影响研究   </p> <p>王磊;刘亭亭;谢建治; 水土保持研究 2019 年 04 期 被引: 30 下载: 805 PCSI: 12.924 PDSI: 9.599</p> |
| 97 | <p>氮肥减量配施微生物菌剂对灌淤土花椰菜产量及土壤微生物的影响 </p> <p>李凤霞;赵营; 水土保持研究 2017 年 02 期 被引: 30 下载: 480 PCSI: 7.014 PDSI: 4.262</p> |
| 98 | <p>间作模式下玉米/大豆的根系特征及其与团聚体稳定性的关系 </p> <p>白录顺;范茂攀;王自林;王婷;邓超;李永梅; 水土保持研究 2019 年 01 期 被引: 29 下载: 818 PCSI: 8.411 PDSI: 5.521</p> |

| | |
|-----|---|
| 99 | 黄土高原退耕还林工程对生态环境的影响及对策建议  邓景成;高鹏;穆兴民;赵广举;孙文义;田鹏;宋小燕; 水土保持研究 2017 年 05 期 被引: 29 下载: 1277 PCSI: 6.846 PDSI: 9.094 |
| 100 | 中国草地生态系统水源涵养服务时空变化    吴丹;邵全琴;刘纪远;曹巍; 水土保持研究 2016 年 05 期 被引: 29 下载: 863 PCSI: 12.545 PDSI: 11.668 |
| 101 | 中国地级及以上城市水资源利用效率的时空格局分析    韩文艳;陈兴鹏;张子龙;王宁飞;于原浩; 水土保持研究 2018 年 02 期 被引: 28 下载: 878 PCSI: 11.027 PDSI: 8.275 |
| 102 | 近 10 年巴音河流域土地利用变化及驱动力分析  段红腾;吴发启;杨一凡;李陶陶; 水土保持研究 2020 年 02 期 被引: 28 下载: 1053 PCSI: 6.271 PDSI: 4.818 |
| 103 | 连续种植不同绿肥作物的土壤团聚体稳定性及可蚀性特征  张钦;于恩江;林海波;张爱华;陈正刚;朱青;曹卫东;姚单君; 水土保持研究 2019 年 02 期 被引: 28 下载: 782 PCSI: 6.699 PDSI: 5.293 |
| 104 | 川西北高寒草地退化对土壤团聚体组成及稳定性的影响   江仁涛;李富程;沈松涛; 水土保持研究 2018 年 04 期 被引: 28 下载: 399 PCSI: 10.540 PDSI: 4.085 |
| 105 | 中国地级及以上城市水资源利用效率的时空格局分析    韩文艳;陈兴鹏;张子龙;王宁飞;于原浩; 水土保持研究 2018 年 02 期 被引: 28 下载: 878 PCSI: 11.027 PDSI: 8.275 |
| 106 | 浙江省典型森林类型枯落物及林下土壤水文特性  孙欧文;蔡建国;吴家森;葛宏立; 水土保持研究 2019 年 01 期 被引: 27 下载: 359 PCSI: 5.568 PDSI: 2.798 |
| 107 | 保水剂对高羊茅种子萌发及幼苗生理的影响   杨杰;曹昀;王秀文;黄佳超;李生; 水土保持研究 2017 年 01 期 被引: 27 下载: 302 PCSI: 8.870 PDSI: 3.420 |
| 108 | 典型喀斯特山区无籽刺梨基地土壤质量评价  李婕玲;李朝婵;胡继伟;全文选; 水土保持研究 2017 年 01 期 被引: 27 下载: 588 PCSI: 6.033 PDSI: 5.140 |
| 109 | 土壤水分调控对南疆滴灌棉花产量及土壤水盐分布的影响   何平如;张富仓;侯翔皓;刘蓝骄;孟晓琛;张晨阳;成厚亮; 水土保持研究 2020 年 02 期 被引: 27 下载: 698 PCSI: 12.013 PDSI: 6.072 |

| | |
|-----|--|
| 110 | 渭河流域 NDVI 与气候因子时空变化及相关性研究   王丽霞;余东洋;刘招;张双成;杨耘; 水土保持研究 2019 年 02 期 被引: 27 下载: 622 PCSI: 11.938 PDSI: 3.213 |
| 111 | 基于景观格局的武汉市江夏区土地利用生态风险评价   侯蕊;李红波;高艳丽; 水土保持研究 2021 年 01 期 被引: 27 下载: 1304 PCSI: 9.492 PDSI: 5.591 |
| 112 | 南京市土地利用结构时空格局及驱动因素  陈磊;孙佳新;姜海;唐华; 水土保持研究 2020 年 01 期 被引: 27 下载: 1234 PCSI: 6.271 PDSI: 5.481 |
| 113 | 西北植被净初级生产力时空变化及其驱动因素    同琳静;刘洋洋;王倩;杨悦;李建龙; 水土保持研究 2019 年 04 期 被引: 27 下载: 726 PCSI: 15.109 PDSI: 3.579 |
| 114 | 三峡库区 2010 年度土地利用现状分析  王福海;周启刚;杨霏;杨鹏五;王尧; 水土保持研究 2013 年 05 期 被引: 26 下载: 1566 PCSI: 3.338 PDSI: 11.455 |
| 115 | 西北地区新一轮退耕还林还草规模分析   苏冰倩;王茵茵;上官周平; 水土保持研究 2017 年 04 期 被引: 26 下载: 715 PCSI: 6.284 PDSI: 8.505 |
| 116 | 黄河下游近 50 年径流量变化特征及影响因素   潘彬;韩美;倪娟; 水土保持研究 2017 年 01 期 被引: 26 下载: 662 PCSI: 8.108 PDSI: 9.299 |
| 117 | 基于 Morlet 小波的辽河径流量变化及其成因分析   冯禹昊;朱江玲; 水土保持研究 2019 年 02 期 被引: 26 下载: 699 PCSI: 12.733 PDSI: 7.216 |
| 118 | 近 40 年三江平原极端降水时空变化特征分析   鲁菁;张玉虎;高峰;刘玉洁; 水土保持研究 2019 年 02 期 被引: 26 下载: 779 PCSI: 9.064 PDSI: 6.778 |
| 119 | 植被盖度对典型草原区地表风沙流结构及风蚀量影响  邢恩德;马少薇;郭建英;李锦荣;蓝登明; 水土保持研究 2015 年 06 期 被引: 26 下载: 486 PCSI: 10.606 PDSI: 7.218 |
| 120 | 基于相对湿润度指数的近 56 年若尔盖湿地干湿变化  强皓凡;靳晓言;赵璐;卢泽华; 水土保持研究 2018 年 01 期 被引: 25 下载: 1118 PCSI: 5.875 PDSI: 7.678 |

| | |
|-----|---|
| 121 | <p>祁连山北坡草甸草原地上生物量与土壤理化性质的关系 </p> <p>王洁;贾文雄;赵珍;陈京华;丁丹; 水土保持研究 2017 年 01 期 被引: 25 下载: 552 PCSI: 6.094 PDSI: 7.860</p> |
| 122 | <p>基于 Anusplin 秦岭地区近 50 多年来的降水时空变化  </p> <p>孟清;白红英;郭少壮; 水土保持研究 2020 年 02 期 被引: 24 下载: 827 PCSI: 17.341 PDSI: 7.251</p> |
| 123 | <p>土地利用和气候变化对嘉陵江流域水文特征的影响  </p> <p>王莺;王劲松;武明;王素萍; 水土保持研究 2019 年 01 期 被引: 24 下载: 898 PCSI: 8.235 PDSI: 9.132</p> |
| 124 | <p>基于 GIS 的重庆城口县村落空间分布特征及人居环境适宜性评价研究  </p> <p>唐倩;李孝坤;钟博星;王科宇; 水土保持研究 2019 年 02 期 被引: 24 下载: 1504 PCSI: 6.129 PDSI: 9.740</p> |
| 125 | <p>杞麓湖流域景观时空格局演变及其对景观生态风险的影响  </p> <p>王涛;肖彩霞;刘娇;禄鑫; 水土保持研究 2019 年 06 期 被引: 24 下载: 566 PCSI: 9.009 PDSI: 3.981</p> |
| 126 | <p>基于像元二分模型的伏牛山地区植被覆盖度变化  </p> <p>张成才;娄洋;李颖;姬兴杰;董萌佳; 水土保持研究 2020 年 03 期 被引: 24 下载: 953 PCSI: 20.577 PDSI: 5.643</p> |
| 127 | <p>基于功能空间分类的抚仙湖流域“3 类空间”时空格局变化  </p> <p>赵筱青;李思楠;谭琨;苗培培;普军伟;卢飞飞;王茜; 水土保持研究 2019 年 04 期 被引: 23 下载: 1131 PCSI: 4.195 PDSI: 11.344</p> |
| 128 | <p>基于改进三维生态足迹模型的安徽省土地生态承载力评价  </p> <p>苏子龙;袁国华;周伟; 水土保持研究 2020 年 03 期 被引: 23 下载: 969 PCSI: 11.932 PDSI: 5.176</p> |
| 129 | <p>2000—2013 年西安市植被覆盖度时空演变 </p> <p>贾路;任宗萍;李占斌;徐国策;时鹏;张译心;王斌; 水土保持研究 2019 年 06 期 被引: 23 下载: 776 PCSI: 7.997 PDSI: 3.748</p> |
| 130 | <p>不同林龄油松土壤微生物、酶活性和养分特征 </p> <p>范媛媛;李懿;李启迪; 水土保持研究 2019 年 06 期 被引: 23 下载: 854 PCSI: 5.568 PDSI: 5.728</p> |
| 131 | <p>山西省水资源生态足迹时空变化特征及驱动因素  </p> <p>贾陈忠;乔扬源;关格格;赵凯丽; 水土保持研究 2019 年 02 期 被引: 23 下载: 832 PCSI: 6.162 PDSI: 7.680</p> |

| | |
|-----|--|
| 132 | <p>皖南地区旅游产业-城镇化-生态环境耦合协调的时空演变 </p> <p>荣慧芳;陶卓民;刘琪;许源;程海峰; 水土保持研究 2019 年 04 期 被引: 23 下载: 1062 PCSI: 10.067 PDSI: 4.010</p> |
| 133 | <p>近 30 年国内外土壤有机碳研究进程解析与展望  </p> <p>周咪;肖海兵;聂小东;李忠武;邓楚雄;刘俊宇;张宇婷; 水土保持研究 2020 年 03 期 被引: 23 下载: 1722 PCSI: 7.274 PDSI: 9.164</p> |
| 134 | <p>基于 SEBAL 模型的疏勒河流域蒸散量时空动态 </p> <p>周妍妍;郭晓娟;郭建军;曾建军;陈冠光;邹明亮;岳东霞; 水土保持研究 2019 年 01 期 被引: 22 下载: 474 PCSI: 8.075 PDSI: 4.643</p> |
| 135 | <p>17 种锦鸡儿属植物叶片解剖结构及抗旱性分析 </p> <p>马红英;吕小旭;计雅男;李小伟; 水土保持研究 2020 年 01 期 被引: 22 下载: 799 PCSI: 6.861 PDSI: 4.792</p> |
| 136 | <p>基于 SWAT 模型的衢江流域土地利用变化径流模拟研究 </p> <p>渠勇建;成向荣;虞木奎;吴初平;袁位高; 水土保持研究 2019 年 01 期 被引: 22 下载: 673 PCSI: 6.555 PDSI: 6.963</p> |
| 137 | <p>1960—2017 年黄河流域极端气温的季节变化特征及其与 ENSO 的相关性分析  </p> <p>张克新;董小刚;廖空太;蒋志成;曹立国; 水土保持研究 2020 年 02 期 被引: 21 下载: 882 PCSI: 22.274 PDSI: 6.581</p> |
| 138 | <p>2000—2015 年豫西黄土丘陵区土地利用变化及景观生态风险评价  </p> <p>杜军;赵胜朝;邱士可;郭雷; 水土保持研究 2021 年 01 期 被引: 21 下载: 1107 PCSI: 13.904 PDSI: 4.980</p> |
| 139 | <p>杭州市城区热岛效应与景观格局的动态研究 </p> <p>苟睿坤;赵选;卜元坤;高婷;赵鹏祥; 水土保持研究 2019 年 01 期 被引: 20 下载: 774 PCSI: 3.772 PDSI: 5.258</p> |
| 140 | <p>不同放牧强度对锡林郭勒典型草原生产力及碳储量的影响 </p> <p>杜宝红;高翠萍;哈达朝鲁; 水土保持研究 2018 年 01 期 被引: 20 下载: 423 PCSI: 8.420 PDSI: 5.196</p> |
| 141 | <p>不同配置人工湿地植物群落对生活污水净化效果 </p> <p>吴雨涵;余俊;王锐涵; 水土保持研究 2019 年 06 期 被引: 20 下载: 1024 PCSI: 4.036 PDSI: 6.338</p> |
| 142 | <p>云南喀斯特山区城乡建设用地开发适宜性及分区 </p> <p>赵筱青;普军伟;饶辉;李思楠;卢飞飞;顾泽贤; 水土保持研究 2020 年 01 期 被引: 20 下载: 740 PCSI: 4.112 PDSI: 5.187</p> |

| | |
|-----|---|
| 143 | <p>基于 GIS 的华宁县滑坡灾害影响因子分析及易发性评价 </p> <p>吴常润;赵冬梅;刘澄静;角媛梅;冯志娟;刘敬; 水土保持研究 2019 年 06 期 被引: 20 下载: 1081 PCSI: 3.632 PDSI: 7.024</p> |
| 144 | <p>2001—2015 年青藏高原草地碳源/汇时空变化及其与气候因子的关系  </p> <p>周夏飞;於方;曹国志;杨威杉;周颖; 水土保持研究 2019 年 01 期 被引: 19 下载: 1064 PCSI: 6.530 PDSI: 11.274</p> |
| 145 | <p>黑色地膜覆盖土壤水热效应及对玉米产量的影响 </p> <p>霍轶珍;丁春莲;王文达;韩翠莲;郭彦芬;李生勇; 水土保持研究 2020 年 01 期 被引: 18 下载: 428 PCSI: 5.197 PDSI: 3.785</p> |
| 146 | <p>1956—2017 年黄河干流径流量时空变化新特征  </p> <p>李勃;穆兴民;高鹏;赵广举;孙文义; 水土保持研究 2019 年 06 期 被引: 18 下载: 916 PCSI: 6.682 PDSI: 10.856</p> |
| 147 | <p>“三生空间”视角下万州区景观生态安全评价及其耦合特征分析  </p> <p>刘顺鑫;黄云; 水土保持研究 2020 年 06 期 被引: 18 下载: 1460 PCSI: 11.701 PDSI: 12.656</p> |
| 148 | <p>滨海湿地土壤微生物群落多样性及其影响因素 </p> <p>张爱娣;郑仰雄;吴碧珊;黄东兵; 水土保持研究 2020 年 03 期 被引: 17 下载: 1166 PCSI: 4.780 PDSI: 6.931</p> |
| 149 | <p>三峡库区重庆段土地利用转型及生态服务功能价值时空分异特征  </p> <p>邹欣怡;赵伟;蒲海霞; 水土保持研究 2021 年 02 期 被引: 17 下载: 1016 PCSI: 7.512 PDSI: 4.688</p> |
| 150 | <p>激光粒度仪与吸管法测定土壤机械组成的比较研究——以不同退化程度栗钙土为例 </p> <p>朱瑜;张卓栋;刘畅;张欣; 水土保持研究 2018 年 03 期 被引: 17 下载: 1209 PCSI: 2.532 PDSI: 6.213</p> |
| 151 | <p>宁夏回族自治区生态环境与经济发展耦合协调研究 </p> <p>苏胜亮; 水土保持研究 2021 年 02 期 被引: 16 下载: 1110 PCSI: 4.894 PDSI: 4.344</p> |
| 152 | <p>土壤干旱及复水对侧柏叶绿素荧光参数的影响  </p> <p>张玉玉;王进鑫;马戎;吕国利;冯树林; 水土保持研究 2021 年 02 期 被引: 16 下载: 762 PCSI: 34.930 PDSI: 5.613</p> |
| 153 | <p>基于土地利用的三峡库区近 30 年生态系统服务价值时空变化特征  </p> <p>李辉;张晓媛;国洪磊; 水土保持研究 2021 年 02 期 被引: 16 下载: 1257 PCSI: 9.492 PDSI: 5.447</p> |

| | |
|-----|--|
| 154 | 基于 GIS 的降雨空间插值研究——以湖南省为例  阳宽达;谢红霞;隋兵;周清;刘沛;王海涛; 水土保持研究 2020 年 03 期 被引: 16 下载: 1162 PCSI: 7.036 PDSI: 8.592 |
| 155 | 江淮生态经济区土地利用景观格局时空变化   马帅;程浩;林晨;王良杰; 水土保持研究 2021 年 01 期 被引: 16 下载: 723 PCSI: 11.627 PDSI: 3.689 |
| 156 | 不同人工造林树种及其配置方式对土壤理化性质影响分析  杨亚辉;吕渡;张晓萍;木热提江·阿不拉;赵文慧;蔺鹏飞;于艺鹏; 水土保持研究 2017 年 06 期 被引: 15 下载: 757 PCSI: 1.701 PDSI: 6.115 |
| 157 | 黄河西岸陕西各县市耕地质量时空变化特征及其分异规律   卫新东;宋林韩;王筛妮;喻昭;王宁; 水土保持研究 2021 年 02 期 被引: 15 下载: 985 PCSI: 13.968 PDSI: 4.828 |
| 158 | 基于 PSR 模型的生态文明示范区生态安全评价及其障碍诊断   吕添贵;孔安妮;汪立; 水土保持研究 2021 年 02 期 被引: 14 下载: 735 PCSI: 8.208 PDSI: 3.640 |
| 159 | 黄土丘陵区退耕草地群落盖度与地上生物量关系  贾昭;简春霞;熊沛枫;陈志飞;周俊杰;杨全;徐炳成; 水土保持研究 2020 年 01 期 被引: 14 下载: 380 PCSI: 5.504 PDSI: 4.689 |
| 160 | 宁夏回族自治区生态系统服务价值时空演变及其驱动力   程静;黄越; 水土保持研究 2021 年 02 期 被引: 14 下载: 1097 PCSI: 11.627 PDSI: 4.949 |
| 161 | 陕西省水资源脆弱性评价  任源鑫;林青;韩婷;李改萍;周旗; 水土保持研究 2020 年 02 期 被引: 14 下载: 486 PCSI: 5.622 PDSI: 4.951 |
| 162 | 基于模糊评价的喀斯特山区文山市资源环境承载力评价  谭琨;严直慧;赵祖军;普军伟;李思楠;苗培培;赵筱青; 水土保持研究 2021 年 01 期 被引: 14 下载: 753 PCSI: 6.282 PDSI: 4.126 |
| 163 | 基于电路理论的特大山地城市生态安全格局构建——以重庆市都市区为例  周浪;李明慧;周启刚;孟浩斌;彭春花;刘栩位; 水土保持研究 2021 年 02 期 被引: 13 下载: 910 PCSI: 4.358 PDSI: 4.292 |
| 164 | 近 30 年粤东地区台风灾害风险评估与分析  陈楷俊;陈艺仪;陈菁; 水土保持研究 2019 年 03 期 被引: 13 下载: 1408 PCSI: 5.128 PDSI: 11.728 |

| | |
|-----|---|
| 165 | <p>长江下游秦淮河流域径流变化及影响因素分析 </p> <p>代晓颖;许有鹏;林芷欣;王强;徐羽;高斌; 水土保持研究 2019 年 04 期 被引: 13 下载: 736 PCSI: 3.959 PDSI: 8.813</p> |
| 166 | <p>不同林龄油松根际土壤微生物群落多样性及其影响因子 </p> <p>丁丽;冀玉良;李懿; 水土保持研究 2020 年 04 期 被引: 13 下载: 890 PCSI: 4.783 PDSI: 6.814</p> |
| 167 | <p>黄河中下游丰水期水化学特征及影响因素 </p> <p>张旺;王殿武;雷坤;吕旭波;陈雨;杨丽标; 水土保持研究 2020 年 01 期 被引: 13 下载: 466 PCSI: 12.853 PDSI: 4.931</p> |
| 168 | <p>国内外土地利用与生态系统服务研究热点与趋势——基于 CiteSpace 计量分析 </p> <p>李龙;吴大放;刘艳艳; 水土保持研究 2020 年 05 期 被引: 12 下载: 2049 PCSI: 3.204 PDSI: 10.448</p> |
| 169 | <p>喀斯特地区降水量空间插值方法对比——以贵州省为例  </p> <p>莫跃爽;索惠英;焦树林;赵宗权;张洁;赵梦;刘炜;李银久; 水土保持研究 2021 年 01 期 被引: 12 下载: 558 PCSI: 7.380 PDSI: 4.410</p> |
| 170 | <p>滇南小流域 3 种土地利用方式下土壤侵蚀及养分流失特征  </p> <p>王永平;周子柯;滕昊蔚;牛晓音;李晓辉; 水土保持研究 2021 年 01 期 被引: 12 下载: 523 PCSI: 7.204 PDSI: 3.068</p> |
| 171 | <p>1974—2019 年大清河流域土地利用景观时空变化  </p> <p>李硕;沈占锋;柯映明;李均力;许泽宇;王浩宇;焦淑慧;李璐;李苓苓; 水土保持研究 2021 年 01 期 被引: 11 下载: 665 PCSI: 7.512 PDSI: 3.478</p> |
| 172 | <p>基于 SPEI 渭北黄土台塬区干旱时空演变特征  </p> <p>刘宇;李雯晴;刘招;余玉聪;尤烽骅;杨舟; 水土保持研究 2021 年 01 期 被引: 11 下载: 525 PCSI: 7.380 PDSI: 4.202</p> |
| 173 | <p>基于生态城市理念的兰州—西宁城市群高质量发展与生态环境耦合协调研究 </p> <p>雒占福;李兰;高旭;张永锋; 水土保持研究 2021 年 02 期 被引: 11 下载: 1306 PCSI: 0.510 PDSI: 5.522</p> |
| 174 | <p>喀斯特石漠化区治理措施对土壤质量演变的影响 </p> <p>伏文兵;严友进;王凯;胡刚;林桔桓;黄朝海; 水土保持研究 2021 年 02 期 被引: 11 下载: 531 PCSI: 0.488 PDSI: 3.106</p> |
| 175 | <p>基于 VIC 模型的柳江流域分布式水文模拟与应用 </p> <p>汪伟;方秀琴;杜晓彤;吴陶樱;吴小君; 水土保持研究 2020 年 03 期 被引: 11 下载: 717 PCSI: 4.271 PDSI: 8.584</p> |

| | |
|-----|---|
| 176 | <p>基于景观安全格局的黄海区域农村居民点空间布局优化——以辽宁大连普兰店区为例  </p> <p>曲明;周蕴薇;曹福存;李晓军; 水土保持研究 2021 年 01 期 被引: 10 下载: 710 PCSI: 5.661 PDSI: 5.393</p> |
| 177 | <p>黄淮海平原农区农户耕地流转意愿影响因素——以曲周县农户调查为例 </p> <p>王楠;祖健;郝晋珉;顾恬玮;陈爱琪; 水土保持研究 2021 年 01 期 被引: 10 下载: 508 PCSI: 0.494 PDSI: 3.026</p> |
| 178 | <p>哈长城市群生态系统服务时空特征及其权衡/协同关系研究 </p> <p>于媛;韩玲;李明玉;相恒星;王宗明;张世栋;杨旸; 水土保持研究 2021 年 02 期 被引: 10 下载: 931 PCSI: 4.894 PDSI: 3.840</p> |
| 179 | <p>基于生态足迹的沿海城市可持续发展能力评价及预测分析——以江苏盐城为例 </p> <p>朱高立;饶芳萍;李发志;邹伟; 水土保持研究 2021 年 02 期 被引: 10 下载: 1085 PCSI: 3.559 PDSI: 4.206</p> |
| 180 | <p>2005—2014 年重庆石漠化地区 NDVI 的时空变化及其与气候因子相关性分析  </p> <p>王家录;李维杰;王勇;任娟;高敏; 水土保持研究 2021 年 02 期 被引: 10 下载: 835 PCSI: 19.417 PDSI: 4.162</p> |
| 181 | <p>基于连续时间序列 NDVI 数据的中国生态状况时空变化特征  </p> <p>宗加权;白淑英;冯朝阳;蒲阳; 水土保持研究 2021 年 01 期 被引: 10 下载: 642 PCSI: 10.772 PDSI: 3.613</p> |
| 182 | <p>2000—2018 年广东省土地生态安全与经济发展耦合协调分析 </p> <p>张焱文;王枫; 水土保持研究 2021 年 01 期 被引: 10 下载: 888 PCSI: 1.292 PDSI: 3.715</p> |
| 183 | <p>广西城市土地集约利用与生态文明建设耦合时空分异 </p> <p>林树高;陆汝成;叶宗达;包博建;韦千桃; 水土保持研究 2021 年 02 期 被引: 10 下载: 912 PCSI: 2.624 PDSI: 4.344</p> |
| 184 | <p>延河流域生态系统土壤保持服务时空变化 </p> <p>刘婷;周自翔;朱青;白继洲; 水土保持研究 2021 年 01 期 被引: 9 下载: 487 PCSI: 1.555 PDSI: 2.894</p> |
| 185 | <p>1980 年代以来气候变化对吉林省玉米产量的影响  </p> <p>车晓翠;李洪丽;张春燕;郭聃;沈海鸥; 水土保持研究 2021 年 02 期 被引: 9 下载: 603 PCSI: 8.117 PDSI: 4.106</p> |
| 186 | <p>川西高原植被时空格局及其对气候变化的响应  </p> <p>伍良旭;王晗;邵怀勇;周思彤; 水土保持研究 2021 年 01 期 被引: 9 下载: 662 PCSI: 7.093 PDSI: 3.688</p> |

| | |
|-----|--|
| 187 | <p>浙北地区秸秆全量还田下氮肥用量对单季晚粳稻生长和土壤养分、碳库的影响 </p> <p>王保君;金海刚;张红梅;沈亚强;陈贵;鲁晨妮;程旺大; 水土保持研究 2021 年 02 期 被引: 9 下载: 337 PCSI: 5.120 PDSI: 2.460</p> |
| 188 | <p>基于 GIS 的环京津贫困带乡村聚落时空分异及影响因素分析 </p> <p>陶金源;张孟楠;徐磊;张蓬涛;张俊峰; 水土保持研究 2020 年 06 期 被引: 8 下载: 1164 PCSI: 1.144 PDSI: 7.943</p> |
| 189 | <p>陕西省土地利用转型时空演变及其生态环境效应分析 </p> <p>孙善良;张小平; 水土保持研究 2021 年 06 期 被引: 8 下载: 1250 PCSI: 5.696 PDSI: 5.426</p> |
| 190 | <p>陕南秦巴山区乡村聚落空间分布特征及影响因素——以陕西省汉中市为例 </p> <p>马晓蓉;查小春; 水土保持研究 2021 年 01 期 被引: 8 下载: 741 PCSI: 3.467 PDSI: 2.791</p> |
| 191 | <p>基于 MaxEnt 模型的滑坡易发性评价——以攀枝花市为例  </p> <p>屈新星;李道安;何云玲;余岚;闫文波; 水土保持研究 2021 年 02 期 被引: 8 下载: 506 PCSI: 6.507 PDSI: 4.160</p> |
| 192 | <p>边境地区景观格局演变及生态系统服务价值响应——以延边朝鲜族自治州为例 </p> <p>于媛;李明玉;韩旭龙;刘晖; 水土保持研究 2021 年 01 期 被引: 8 下载: 768 PCSI: 3.124 PDSI: 4.534</p> |
| 193 | <p>西北半干旱区农田土壤有机碳和全氮分布特征及其对地膜玉米产量的影响 </p> <p>胡延斌;肖国举;仇正跻;戴君丽;李永平; 水土保持研究 2021 年 01 期 被引: 8 下载: 501 PCSI: 1.575 PDSI: 3.480</p> |
| 194 | <p>贵州省 NDVI 时空变化及其对温度和降水变化的响应  </p> <p>任荣仪;贺中华;梁虹;夏传花;张浪;杨铭珂; 水土保持研究 2021 年 02 期 被引: 8 下载: 644 PCSI: 7.093 PDSI: 3.621</p> |
| 195 | <p>北方农牧交错带植被 NPP 的时空变化及其驱动因子分析  </p> <p>薛晓玉;王晓云;段含明;颜耀文; 水土保持研究 2021 年 02 期 被引: 8 下载: 638 PCSI: 15.155 PDSI: 3.598</p> |
| 196 | <p>珠江流域下游近 60 年输沙率年际与年内变化特征 </p> <p>杨远东;王永红;蔡斯龙;刘锋;杨清书; 水土保持研究 2021 年 02 期 被引: 7 下载: 439 PCSI: 6.456 PDSI: 5.218</p> |
| 197 | <p>稳定碳同位素在草地生态系统碳循环中的应用与展望 </p> <p>张昊;李建平; 水土保持研究 2021 年 01 期 被引: 7 下载: 1198 PCSI: 1.848 PDSI: 6.397</p> |

| | |
|-----|---|
| 198 | <p>1982—2015 年中国北方草地 NDVI 时空动态及其对气候变化的响应  </p> <p>秦格霞;芦倩;孟治元;李政;陈泓羽;孔婕;吉珍霞;秦安宁; 水土保持研究 2021 年 01 期 被引: 7 下载: 711 PCSI: 6.753 PDSI: 7.312</p> |
| 199 | <p>喀斯特山区近年来农村人口与居民点用地的时空格局演化——以贵州省为例 </p> <p>潘友娜;赵翠薇; 水土保持研究 2021 年 01 期 被引: 6 下载: 526 PCSI: 2.630 PDSI: 3.335</p> |
| 200 | <p>长江流域森林碳储量的时空变化及其驱动因素分析 </p> <p>孔蕊;张增信;张凤英;田佳西;朱斌;朱敏;王益明; 水土保持研究 2020 年 04 期 被引: 6 下载: 942 PCSI: 1.733 PDSI: 8.854</p> |
| 201 | <p>沙地柏人工林和天然林风沙土特性研究 </p> <p>拓飞;董治宝;南维鸽;杨树俊;武玉叶;李强; 水土保持研究 2021 年 02 期 被引: 5 下载: 271 PCSI: 5.867 PDSI: 2.434</p> |
| 202 | <p>滇中城市群城镇化与资源环境承载力耦合协调研究  </p> <p>李琛;吴映梅;高彬嫔; 水土保持研究 2022 年 02 期 被引: 5 下载: 1199 PCSI: 10.054 PDSI: 5.365</p> |
| 203 | <p>长江流域中部地区生态系统服务价值评估与综合驱动力分析 </p> <p>曾晨;李扬镛;段雪雯;徐宇琪; 水土保持研究 2022 年 02 期 被引: 5 下载: 1888 PCSI: 0.598 PDSI: 7.619</p> |
| 204 | <p>人类活动干扰对青藏高原植被覆盖变化的影响 </p> <p>柴立夫;田莉;奥勇;王小青; 水土保持研究 2021 年 06 期 被引: 5 下载: 934 PCSI: 10.772 PDSI: 4.642</p> |
| 205 | <p>基于夜光数据的滇中城市建成区动态监测与时空格局演变 </p> <p>林之强;彭双云;洪亮;许泉立;周燕莲; 水土保持研究 2021 年 01 期 被引: 4 下载: 851 PCSI: 8.011 PDSI: 6.044</p> |
| 206 | <p>土地资源利用效率研究评述及改进路径理论逻辑——基于主体功能区治理的思考  </p> <p>陈磊; 水土保持研究 2022 年 01 期 被引: 4 下载: 710 PCSI: 5.304 PDSI: 4.123</p> |
| 207 | <p>中国耕地空间格局变化及其生态系统服务价值响应   </p> <p>黄海潮;雷鸣;孔祥斌;温良友; 水土保持研究 2022 年 01 期 被引: 4 下载: 1676 PCSI: 25.609 PDSI: 6.985</p> |
| 208 | <p>2000—2018 年乌海市植被覆盖度时空变化  </p> <p>刘瑞瑶;许丽;丰菲;刘莹;张新蕾; 水土保持研究 2022 年 02 期 被引: 4 下载: 1007 PCSI: 0.680 PDSI: 5.568</p> |

| | |
|-----|---|
| 209 | 长江中游城市群农业生态效率时空演变及驱动因子研究   舒晓波;冯维祥;廖富强;凌春园; 水土保持研究 2022 年 01 期 被引: 4 下载: 1195 PCSI: 3.847 PDSI: 5.283 |
| 210 | 基于 CA-Markov 和 InVEST 模型的土地利用格局与生境质量时空演变及预测——以江西省南昌市为例    李亚楠;多玲花;张明; 水土保持研究 2022 年 02 期 被引: 3 下载: 2256 PCSI: 3.414 PDSI: 8.098 |
| 211 | 新疆植被 NDVI 时空变化及定量归因  姜萍;胡列群;肖静;雅森江·库尔班; 水土保持研究 2022 年 02 期 被引: 3 下载: 948 PCSI: 0.000 PDSI: 5.332 |
| 212 | 黄土区 3 种优势灌木根土复合体的抗剪强度研究   杨路;杜峰;秦晶晶;程帅;李宏斌; 水土保持研究 2022 年 01 期 被引: 3 下载: 431 PCSI: 4.037 PDSI: 2.763 |
| 213 | 沱江流域土壤侵蚀动态变化及驱动力分析  钟旭珍;张素;吴瑞娟;敬远兵;门雷雷;周婷; 水土保持研究 2022 年 02 期 被引: 3 下载: 778 PCSI: 0.000 PDSI: 4.440 |
| 214 | 基于 R/S 和 Morlet 小波分析的北洛河上游径流变化特征  谢智博;穆兴民;高鹏;邱德勋; 水土保持研究 2022 年 02 期 被引: 3 下载: 705 PCSI: 0.000 PDSI: 7.768 |
| 215 | 基于 SWAT 模型的南渡江上游流域径流对气候变化的响应    曹灿;孙瑞;吴志祥;李茜; 水土保持研究 2022 年 02 期 被引: 3 下载: 1007 PCSI: 11.869 PDSI: 8.974 |
| 216 | 水库消落带土壤颗粒组成分形及其空间分异特征   郑晓岚;杨玲;宋娇;鲍玉海;李进林;贺秀斌; 水土保持研究 2022 年 01 期 被引: 3 下载: 534 PCSI: 4.037 PDSI: 3.282 |
| 217 | 黔中地区气象水文干旱演变特征及其响应关系  杨铭珂;贺中华;任荣仪; 水土保持研究 2022 年 01 期 被引: 2 下载: 328 PCSI: 0.627 PDSI: 3.502 |
| 218 | 黄河流域极端气候事件时空变化规律  慎璐璐;杨艳芬;吴晶;白磊; 水土保持研究 2022 年 02 期 被引: 2 下载: 960 PCSI: 0.632 PDSI: 6.987 |
| 219 | 疏勒河流域最高、最低气温变化规律  贾玲;孙栋元;牛最荣;鄢继选;武兰珍;王兴繁;肖锋;马亚丽; 水土保持研究 2022 年 01 期 被引: 2 下载: 261 PCSI: 0.632 PDSI: 2.607 |

| | |
|-----|---|
| 220 | 喀斯特山地草地土壤酶活性及土壤微生物碳代谢活性研究  金章利;刘高鹏;周明涛;许文年; 水土保持研究 2020 年 03 期 被引: 2 下载: 688 PCSI: 0.423 PDSI: 6.992 |
| 221 | 苔藓结皮及其下层土壤的胞外酶活性与微生物 CUE 特征  张尚鹏;王百群;晁赫嵘;王雨涵; 水土保持研究 2022 年 02 期 被引: 2 下载: 367 PCSI: 4.037 PDSI: 2.428 |
| 222 | 黔中地区不同马尾松群丛植物群落与土壤理化性质特征   杨云礼;徐明;张姣;聂坤;文春玉;张健; 水土保持研究 2022 年 01 期 被引: 2 下载: 563 PCSI: 4.635 PDSI: 5.410 |
| 223 | 毛乌素沙地 1960—2018 年气候变化特征及影响因子分析   方欣;刘小楝;岳大鹏; 水土保持研究 2022 年 02 期 被引: 2 下载: 661 PCSI: 4.164 PDSI: 5.267 |
| 224 | 藏西南高原植被 NDVI 时空变化及其与海拔梯度的关系   李焱;戴睿;张云霞;巩杰; 水土保持研究 2022 年 04 期 被引: 2 下载: 701 PCSI: 6.272 PDSI: 3.970 |
| 225 | 1999—2018 年黄河流域 NDVI 时空变化及驱动力分析   付含培;王让虎;王晓军; 水土保持研究 2022 年 02 期 被引: 2 下载: 2316 PCSI: 0.000 PDSI: 10.113 |
| 226 | 基于 CASA 模型探究泾河流域植被 NPP 时空动态及其对气候变化的响应   王丽霞;丁慧兰;刘招;张双成;孔金玲; 水土保持研究 2022 年 01 期 被引: 2 下载: 965 PCSI: 9.271 PDSI: 5.401 |
| 227 | 基于 Markov-FLUS 模型的广西土地利用变化模拟预测   谢凌凌;许进龙;臧俊梅;黄天能; 水土保持研究 2022 年 02 期 被引: 2 下载: 1523 PCSI: 3.556 PDSI: 5.916 |
| 228 | 基于 NDVI 分区的全国草地生态系统覆盖区土壤水分遥感反演  杨娜;郭兴国; 水土保持研究 2022 年 03 期 被引: 1 下载: 921 PCSI: 0.000 PDSI: 6.913 |
| 229 | 城市扩张背景下景观破碎化动态演变及空间自相关分析——以南昌市为例  林晋大;多玲花;邹自力; 水土保持研究 2022 年 04 期 被引: 0 下载: 1752 PCSI: 0.000 PDSI: 11.806 |
| 230 | 基于 SWAT 模型的南渡江流域土地利用/覆被变化的径流响应  曹灿;孙瑞;吴志祥;李茜; 水土保持研究 2022 年 04 期 被引: 0 下载: 784 PCSI: 0.000 PDSI: 8.547 |

| | |
|-----|---|
| 231 | <p>轮作休耕模式对土壤团聚体及有机碳含量的影响 </p> <p>夏梓泰;程伟威;李永梅;赵吉霞;范茂攀; 水土保持研究 2022 年 03 期 被引: 0 下载: 877 PCSI: 0.000 PDSI: 5.881</p> |
| 232 | <p>基于 CASA 模型的植被净初级生产力时空演变格局及其影响因素——以湖北省为例 </p> <p>陈晓杰;张长城;张金亭;王静; 水土保持研究 2022 年 03 期 被引: 0 下载: 1130 PCSI: 0.000 PDSI: 6.047</p> |
| 233 | <p>基于 Copula 函数的汉江流域水文干旱风险研究 </p> <p>李京芳;彭涛;董晓华;李峥嵘;王高旭;常文娟;林青霞;王继保; 水土保持研究 2022 年 03 期 被引: 0 下载: 837 PCSI: 0.000 PDSI: 9.490</p> |